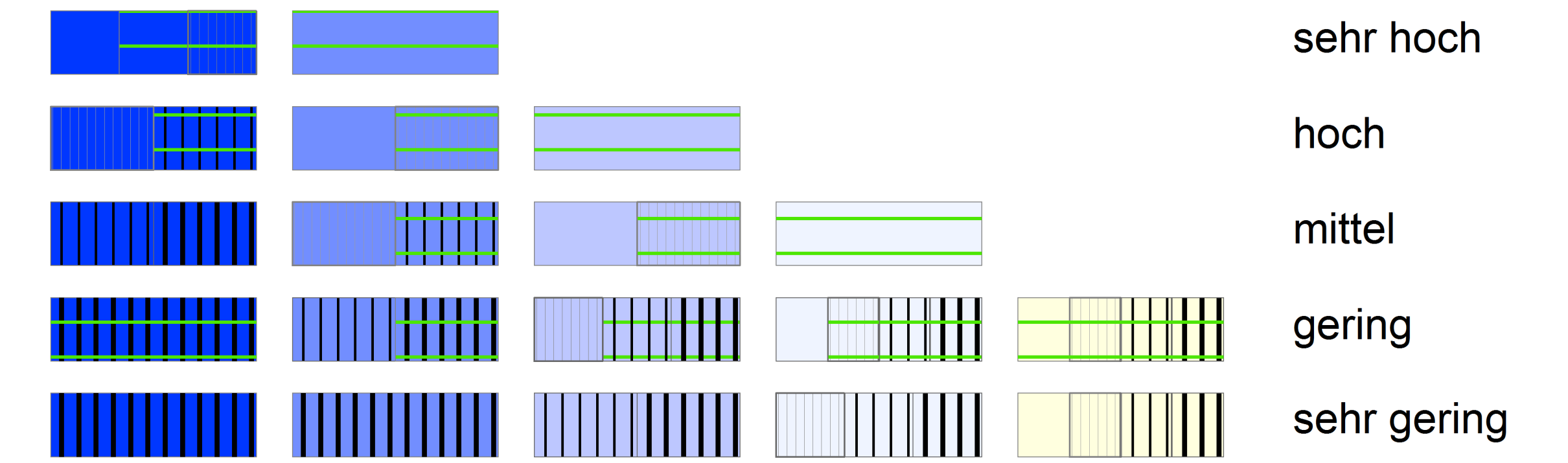


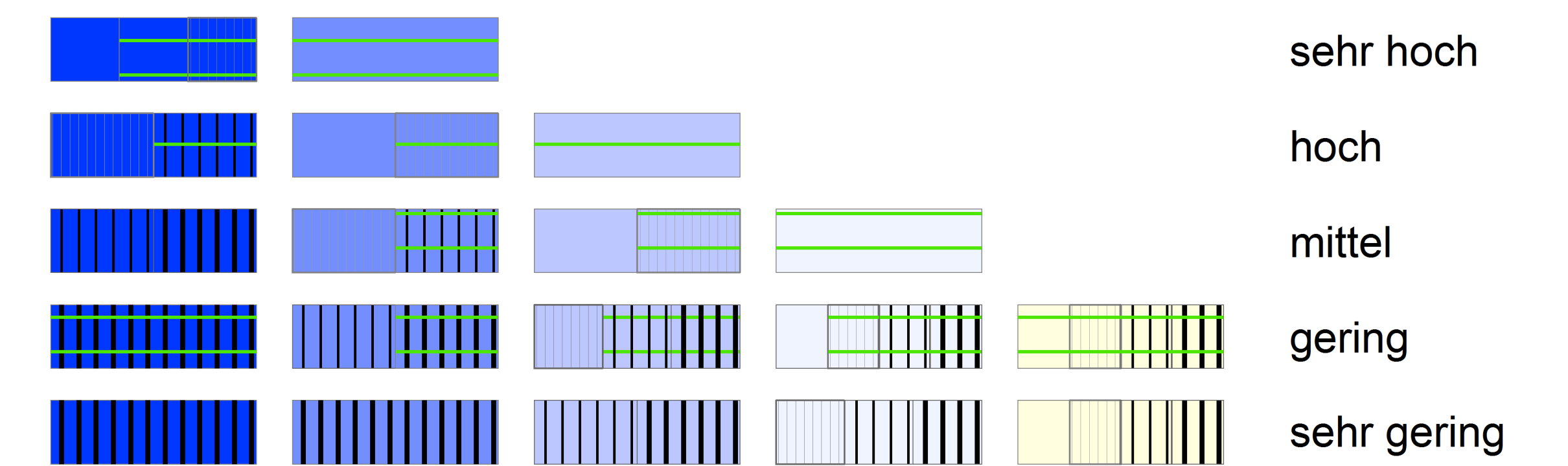
# WASSER

## Retentionsvermögen der Landschaft

Retentionsvermögen -  
Eignung der Landschaft zur Rückhaltung von Oberflächenwasser



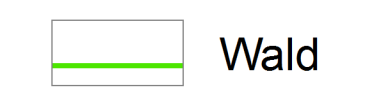
Empfindlichkeit gegenüber Überbauung und Versiegelung



Hangneigung



Vegetation



Böden des Grundgebirgs-Schwarzwald

- a1 Regosol aus Kristallin-Hangschutt
- a2 Braunerde aus Kristallin führenden Fließerden
- a3 Brauner Auenboden und Augengley aus Auen sand
- a7 Augengley aus Auen sand
- A110 Kolluvium aus Abschwemmassen
- A117 Parabraunerde aus Lösslehm-Kristallin-Mischsubstraten
- A118 Parabraunerde aus Lösslehm-Kristallin-Mischsubstraten
- A119 Rigosol aus Lösslehm
- A120 Braunerde aus Kristallinerzatz und -schutt
- A131 Rigosol aus Löss
- A132 Braunerde aus Kristallin führenden Fließerden
- A201 Rigosol aus Kristallinerzatz
- A202 Braunerde aus Kristallinerzatz und -schutt
- A204 Podsol aus Kristallinerzatz und -schutt
- A205 Braunerde aus Kristallinerzatz und -schutt
- A206 Braunerde aus Kristallinerzatz und -schutt
- A209 Braunerde aus Kristallinerzatz und -schutt
- A212 Braunerde aus Kristallinerzatz und -schutt
- A213 Braunerde aus Kristallinerzatz und -schutt
- A215 Gley aus Abschwemmassen

Böden des Mittleren Oberrheinischen Tieflands

- x2 Pararendzina aus Löss
- x3 Parabraunerde aus Löss
- x4 Parabraunerde aus Lösslehm
- x5 Parabraunerde und Pseudogley aus Lösslehm
- x6 Kolluvium aus Abschwemmassen
- x7 Kolluvium aus Abschwemmassen
- x8 Kolluvium aus Abschwemmassen
- x9 Brauner Auenboden aus Auenlehm
- x10 Brauner Auenboden aus Auenlehm
- x13 Gley aus Abschwemmassen
- x17 Rigosol aus Löss-Sandstein-Mischsubstraten
- x18 Rigosol aus Löss-Sandstein-Mischsubstraten
- x19 Rigosol aus Löss-Kristallin-Mischsubstraten
- x22 Pararendzina aus Löss
- x23 Braunerde aus Terrassensand
- x24 Braunerde aus Flussschotter
- x26 Braunerde aus Flussschotter
- x28 Braunerde aus Terrassensand
- x29 Parabraunerde aus Löss
- x30 Parabraunerde aus Sandlöss
- x31 Parabraunerde aus Terrassensand
- x33 Parabraunerde aus Hochfultlehm
- x34 Parabraunerde aus Hochfultlehm
- x39 Parabraunerde aus Hochfultlehm
- x40 Pseudogley aus Hochfultlehm
- x41 Pseudogley aus Hochfultlehm
- x43 Kolluvium aus Abschwemmassen
- x44 Kolluvium aus Abschwemmassen
- x48 Gley aus Hochwassersedimenten
- x56 Brauner Auenboden aus Auen sand
- x60 Brauner Auenboden aus Auenlehm
- x63 Brauner Auenboden aus Auenlehm
- x66 Augengley aus Auenlehm
- x67 Augengley aus Auenlehm
- x68 Augengley aus Auenlehm
- x70 Nassgley
- x103 Kolluvium aus Abschwemmassen
- x105 Gley aus Abschwemmassen

Böden des Buntsandstein-Schwarzwald

- b2 Regosol aus Sandstein-Hangschutt
- b6 Braunerde aus Sandstein führenden Fließerden
- b16 Braunerde aus Sandsteinerzatz und -schutt
- b17 Braunerde aus Sandsteinerzatz und -schutt
- b18 Braunerde aus Sandstein führenden Fließerden
- b21 Braunerde aus Sandsteinerzatz und -schutt
- b28 Podsol aus Sandsteinerzatz und -schutt
- b29 Braunerde und Podsol aus Sandsteinerzatz und -schutt
- b70 Braunerde aus Sandsteinerzatz und -schutt
- b73 Ranker aus Festgesteinerzatz
- b66 Ranker aus Festgesteinerzatz
- b67 Braunerde aus Sandsteinerzatz und -schutt

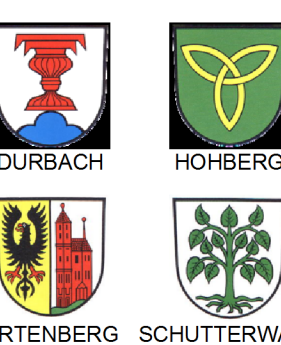
Sonstiges



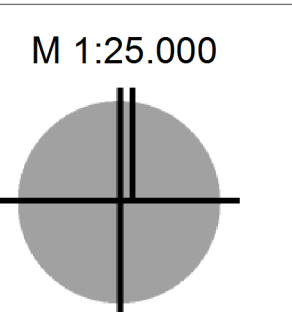
Flächennutzungsplan 2009 / 1. Änderung 2015



Bearbeitung  
Hage + Hoppenstedt Partner  
72108 Rottenburg a.N.  
April 2015



Kartengrundlage: Ausschnitt aus der Topographischen Karte 1:25.000 Blatt Nr. 7412, 7413, 7414, 7512, 7513, 7514, 7612, 7613 und 7614.  
Herausgeber: Landesvermessungsamt Baden-Württemberg (A.Z. 2851.2-D/2322)



18  
Karte

